

Přílohy



Obr. 1: Ctěnice - hlavní vchod s měřeným stromem



Obr. 2: Ctěnice - měřený strom



Obr. 3: Náklonoměr připevněný k bázi kmene



Obr. 4: Komunikační jednotka propojující počítač s měřícím systémem



Obr. 5: Siloměr (forcemetr)



Obr. 6: Tahací zařízení (pulling machine)



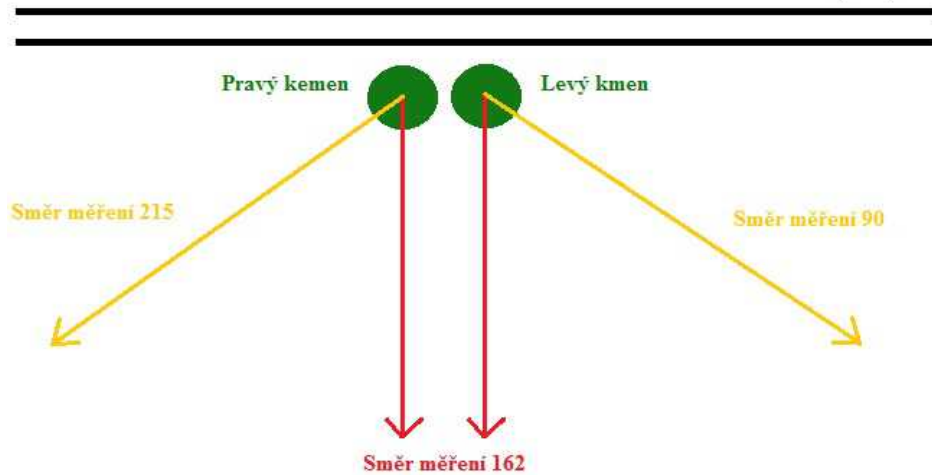
Obr. 8: Upevňovací hřeby



Obr. 7: Měřič deformace (elastometr)



Obr. 9: Náklonoměr (inclinometr)



Obr. 10: Znáznornění směrů tahů

Levý kmen – směr 90°		Levý kmen – směr 162°	
Náklon	Směrnice regresní přímky	Náklon	Směrnice regresní přímky
(81)Y	0,0038156143	(81)Y	0,00286287
(80)X	0,0057422363	(80)X	0,0046241804

Tabulka č. 2) Porovnání směrnic obou náklonoměrů v obou směrech levého kmene

Pravý kmen – směr 162°		Pravý kmen – směr 215°	
Náklon	Směrnice regresní přímky	Náklon	Směrnice regresní přímky
(81)X	0,0089957285	(81)Y	0,0052087102
(80)Y	0,0096163085	(80)X	0,0090418151

Tabulka č. 3) Porovnání směrnic obou náklonoměrů v obou směrech pravého kmene

Neparametrické testy

Wilcoxonův párový test

Levý kmen

L90 – L162	N	Průměr řad	Součet řad
Záporné řady	48	24,5	1176
Kladné řady	0	NaN	0
Vzaby	0		
Total	48		

L90 - L162	
Z	-6,03
Asymp. Sig. (dvoustraná)	0

Pravý kmen

P162 – P215	N	Průměr řad	Součet řad
Záporné řady	0	NaN	0
Kladné řady	72	36,5	2628
Vzaby	0		
Total	72		

P162 – P215	
Z	-7,37
Asymp. Sig. (dvoustraná)	0

Znaménkový párový test

L90 – L162	N
Záporné rozdíly	48
Kladné rozdíly	0
Vzaby	0
Total	48

L90 - L162	
Exact Sig. (dvoustranná)	0
Exact Sig. (jednostranná)	0
Stupeň pravděpodobnosti	0

P162 – P215	N
Záporné rozdíly	0
Kladné rozdíly	72
Vzaby	0
Total	72

P162 – P215	
Exact Sig. (dvoustranná)	0
Exact Sig. (jednostranná)	0
Stupeň pravděpodobnosti	0

Tabulka č. 3) Všechny testy jsou prokazatelné na hladině $\alpha=99\%$